

東京工業大学 正会員 三木千尋  
 本州四国連絡橋公園 正会員 田島二郎  
 建設機械化研究所 江口保平

### 1. はじめに

部分溶込み鋼ビード溶接は、箱型断面トラス部材の材料集成などに用いられる接合である。この接合部においては、外力に于ける応力と、溶接部に存在する引張残留応力の方向が一致することから、その疲労強さに対して残留応力が大きく影響することが予想される。本研究は自動溶接された大型試験体に対して、前報と同様な方法により、疲労強さおよび残留応力の影響を検討したものである。<sup>1), 2)</sup>

### 2. 試験方法

供試鋼材は板厚45mmの鋼質型 80 kg/mm<sup>2</sup>級高張力鋼であり、表-1にその機械的性質を示す。

溶接施工はサブマージアーコー溶接（溶接材料：VS80B-4.8φ、フラックス MF38、予熱層間温度：150°C、入熱量：オ1.3層 46200 J/cm、オ2.4層 56000 J/cm）を行なわれている。

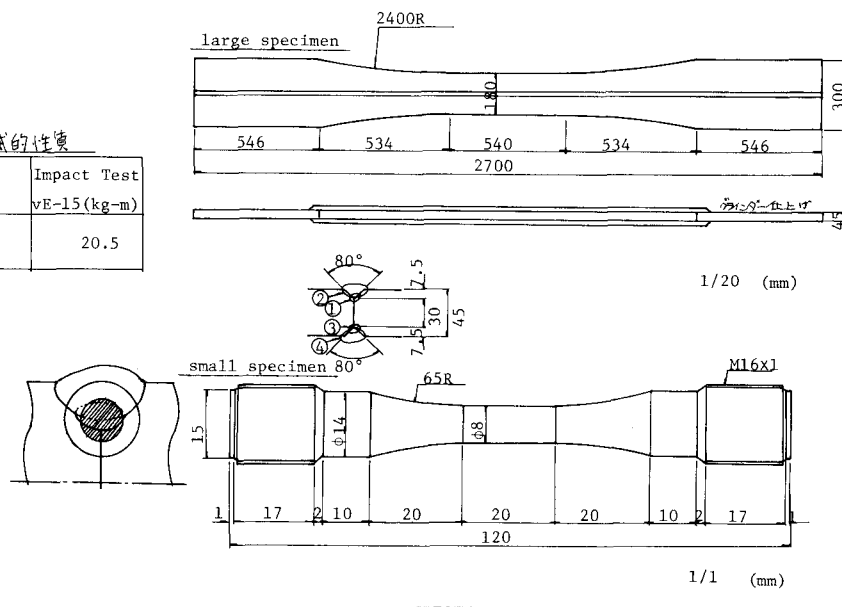
試験体の形状・寸法を図-1に示す。小型試験片は大型試験体の溶接部を切出し、製作したものである。その試験断面に開先ルート部を含めている。小型試験片では溶接部周辺の拘束がなくなり、溶接残留応力はほぼ完全に解放されている。

大型試験体の疲労試験は、最小応力を0.1～0.3 kg/mm<sup>2</sup>とした片振応力で行なった。小型試験片に対しては、最小応力が1.0 kg/mm<sup>2</sup>の片振試験の他、最大応力を63.7 kg/mm<sup>2</sup>一定にし、最小応力をえた試験も行なった。63.7 kg/mm<sup>2</sup>は小型試験片の静的引張時等伏応力にほぼ等しく、大型試験体の溶接部において外力による応力が残留応力に重ねられた時、これに近い応力状態になると考えられる。

溶接残留応力は試験体の表面、側面にひびきゲージ（ゲージ長2mm、ゲージ幅2.2mm）を貼付し、その変換を幅約10mmの小片に鋸で切断する方法により測定した。

表-1 供試鋼材の機械的性質

Y.P. (kg/mm <sup>2</sup> )	T.S. (kg/mm <sup>2</sup> )	E1 (%)	Impact Test vE-15 (kg-m)
77	84	24	20.5



SPECIMEN DETAILS

### 3. 試験結果との考察

図-2に無載荷大型試験体での残留応力分布を示す。表-2、図-3に疲れ試験の結果を示す。

各試験体とも疲れきれつは、特にしたそのストレインすべて溶接ルート部の不溶着部を始点としている。またその不溶着部の面積は、大型試験体と小型試験片で同程度であった。したがって大型試験体と小型試験片の疲れ強さの差は、主として残留応力の有無により生じたものと考えられる。また小型試験片で  $\sigma_{max} = 63.7 \text{ kg/mm}^2$  とした試験結果から、残留応力による疲れ強さの低下量は、平均応力の半値で説明できないほど大きいといえる。すなわち大型、小型試験体の破断寿命を単純に比較することは、大型試験体の疲れ強さを過大に評価し、その結果残留応力の影響を過大に評価することになる。

### 4. おわりに

今後、疲れきれつ発生までの寿命と、その後の疲れ進展寿命を区別し、それそれにについて溶接残留応力の影響を定量的に把握することが必要と考えている。

1) 三木、西村、奥川：縫ビード溶接の疲れ強さにおける残留応力の影響、第33回年次講演会 I-337。

2) 西村、田島、奥川、三木：レンド溶接縫方向離手を有する鋼部材の疲れ強さ、土木学会論文報告集投稿中。

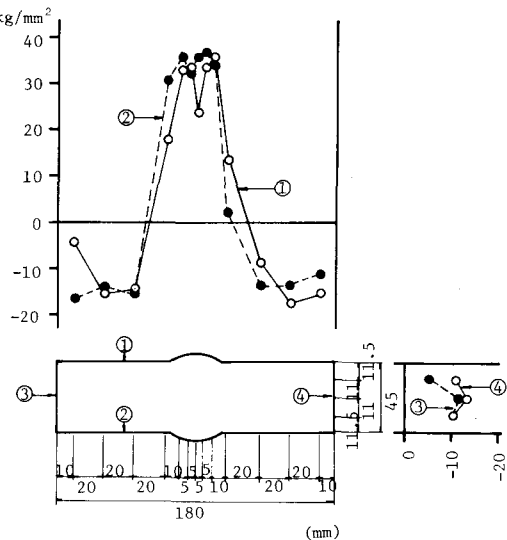


fig.-2 RESIDUAL STRESS DISTRIBUTION

表-2 累れ試験の結果

$\sigma_{max}$ (kg/mm <sup>2</sup> )	$\sigma_{min}$ (kg/mm <sup>2</sup> )	$N_f$ $\times 10^3$	Remarks
<b>LARGE SPECIMEN</b>			
25.2	0.1	1762	初期傷害
25.1	0.1	1249	初期傷害
27.5	0.3	527	初期傷害
22.6	0.2	555	初期傷害
22.8	0.2	1224	
20.3	0.2	2567	
<b>SMALL SPECIMEN</b>			
64.7	1.0	139	
62.7	1.0	215	
59.7	1.0	306	
56.7	1.0	721	
54.7	1.0	864	
52.7	1.0	1611	
63.7	8.0	186	
63.7	10.0	267	
63.7	10.9	246	
63.8	10.9	356	
63.7	11.9	1747	

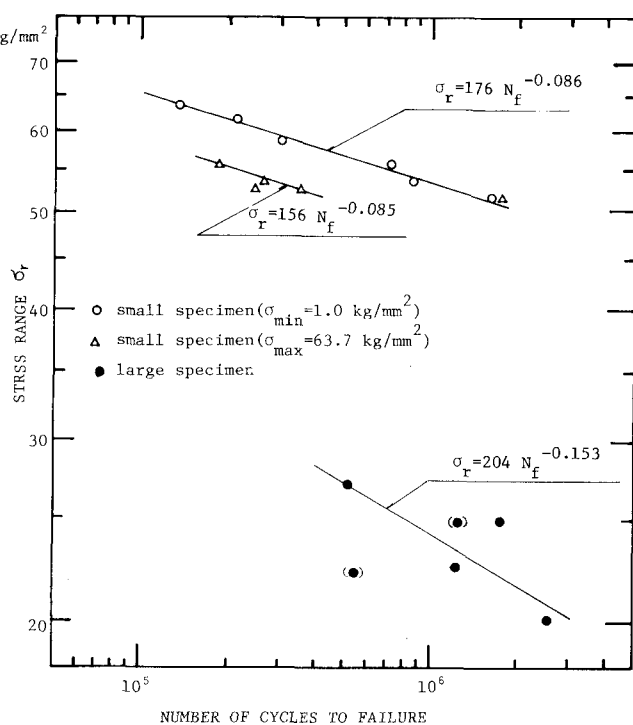


fig.-3 S-N DIAGRAM